



## Wpływ anizotropowości podpór na krytyczne prędkości obrotowe silnika turbośmigłowego

PIOTR DRAŻEK\*, IDZI NOWOTARSKI

Wojskowa Akademia Techniczna, Instytut Techniki Lotniczej,  
00-908 Warszawa, ul. S. Kaliskiego 2  
\*WSK „PZL RZESZÓW” S.A.,  
35-078 Rzeszów, ul. Hetmańska 120

**Streszczenie.** W artykule zaprezentowano model matematyczny oraz wyniki obliczeń układu o symetrii obrotowej, dla którego promieniowa sztywność podparcia wzdłuż obwodu nie ma cech symetrii osiowej.

**Słowa kluczowe:** mechanika — dynamika, lotnictwo

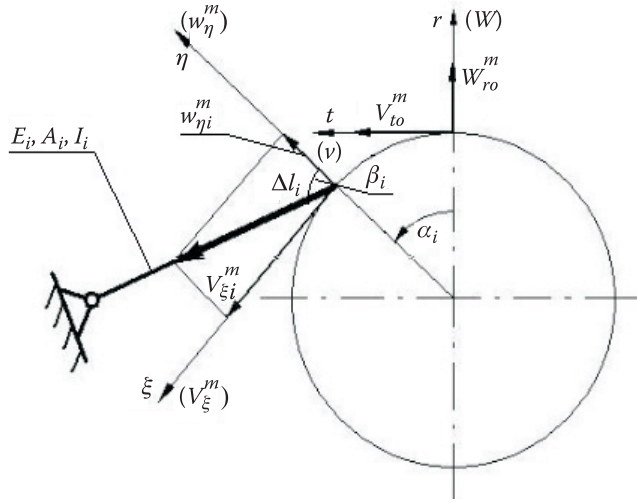
**Symbole UKD:** 629.735.015

### 1. Wstęp

W dotychczasowej praktyce obliczeń inżynierskich krytycznych prędkości obrotowych, np. turbinowych silników lotniczych, przyjmowano, że przednia lub tylna podpora silnika jest nieodkształcalna lub odkształcalna (sprężysta) i ma cechy, tak jak cały obiekt, symetrii osiowej [1, 2]. Przykładem takiego podparcia mogą być cztery równomiernie rozłożone na obwodzie ciągną sprężyste o kierunku promieniowym. Sztywność modelu zastępczego podpory można było uznać jako stałą wzdłuż obwodu to znaczy, że podpora jest izotropowa. Analizując układy mocowania silnika do płyty reduktorowej na śmigłowcach (por. rysunki w tab. 3.4 i 3.5) można zauważyć, że podpora nie jest symetryczna względem układu biegunowego (oś obrotu-promień). Sztywność podpory jest zatem anizotropowa. Niżej podano propozycję metodyki matematycznego opisu tego typu podpory, a następnie omówiono wyniki analizy numerycznej.

## 2. Reakcje podpory anizotropowo-sprężystej

Niech jedno z cięgien anizotropowego zawieszenia silnika na śmigłowcu ma geometrię usytuowania na kadłubie silnika jak na rysunku 2.1.



Rys. 2.1. Geometria  $i$ -tej podpory

Zgodnie ze znanymi równaniami wytrzymałości materiałów, siła w  $i$ -tym cięgnię,  $m$ -tej podpory ( $m$ -tego węzła) wynosi

$$N_i^m = k_i \Delta l_i^m = \frac{E_i A_i}{l_i} \Delta l_i^m, \quad (2.1)$$

a przemieszczenie  $\Delta l_i^m$  jest równe

$$\Delta l_i^m = W_{\eta i}^m \cos \beta_i + V_{\xi i}^m \sin \beta_i. \quad (2.2)$$

Składowe siły  $N_i^m$  w cięgnię w układzie osi  $\xi$ - $\eta$  wynoszą

$$\begin{aligned} N_{\xi i}^m &= N_i^m \sin \beta_i \\ N_{\eta i}^m &= N_i^m \cos \beta_i \end{aligned} \quad (2.3)$$

lub w zapisie macierzowym:

$$\begin{Bmatrix} N_{\xi i}^m \\ N_{\eta i}^m \end{Bmatrix} = \begin{Bmatrix} \sin \beta_i \\ \cos \beta_i \end{Bmatrix} N_i^m. \quad (2.4)$$

Dalej podstawiając równania (2.1), (2.2) do (2.4) i konsekwentnie stosując zapis macierzowy, otrzymano

$$\begin{aligned} \begin{Bmatrix} N_{\xi i}^m \\ N_{\eta i}^m \end{Bmatrix} &= \begin{Bmatrix} \sin \beta_i \\ \cos \beta_i \end{Bmatrix} k_i \Delta l_i^m = k_i \begin{Bmatrix} \sin \beta_i \\ \cos \beta_i \end{Bmatrix} \begin{bmatrix} \sin \beta_i & \cos \beta_i \end{bmatrix} \begin{Bmatrix} V_{\xi i}^m \\ W_{\eta i}^m \end{Bmatrix} = \\ &= k_i \begin{bmatrix} \sin^2 \beta_i & \frac{1}{2} \sin 2\beta_i \\ \frac{1}{2} \sin 2\beta_i & \cos^2 \beta_i \end{bmatrix} \begin{Bmatrix} V_{\xi i}^m \\ W_{\eta i}^m \end{Bmatrix}. \end{aligned} \quad (2.5)$$

Na podstawie wcześniejszych rozważań z uwzględnieniem stosownej dla rozpatrywanego problemu macierzy Boile'a

$$\mathbf{B} = \begin{bmatrix} 0 & 1 & 0 & 0 \\ 0 & 0 & 1 & 0 \end{bmatrix} \quad (2.6)$$

np. dla deformacji symetrycznych jest

$$\begin{aligned} \begin{Bmatrix} V_{\xi i}^m \\ W_{\eta i}^m \end{Bmatrix} &= \mathbf{B} \mathbf{S} \{\delta_0^m\}^e = \\ &= \begin{bmatrix} 0 & 1 & 0 & 0 \\ 0 & 0 & 1 & 0 \end{bmatrix} \begin{bmatrix} \cos m\alpha & & & 0 \\ & \sin m\alpha & & \\ & & \cos m\alpha & \\ & & & \cos m\alpha \end{bmatrix} \begin{Bmatrix} U_{x0}^m \\ V_{t0}^m \\ W_{r0}^m \\ \varphi_{t0}^m \end{Bmatrix} = \\ &= \begin{bmatrix} 0 & \sin m\alpha & 0 & 0 \\ 0 & 0 & \cos m\alpha & 0 \end{bmatrix} \begin{Bmatrix} U_{x0}^m \\ V_{t0}^m \\ W_{r0}^m \\ \varphi_{t0}^m \end{Bmatrix} = \mathbf{B}_s \{\delta_0^m\}^e. \end{aligned} \quad (2.7)$$

Przez analogię do (2.7) wektor sił w przekroju  $\alpha_i$  wynosi

$$\begin{Bmatrix} N_{\xi i}^m \\ N_{\eta i}^m \end{Bmatrix} = \mathbf{B}_s \begin{Bmatrix} N_{x0}^m \\ N_{t0}^m \\ N_{r0}^m \\ M_{t0}^m \end{Bmatrix}. \quad (2.8)$$

Podstawiając do (2.5) zależności (2.7) i (2.8), otrzymano

$$\mathbf{B}_s \begin{Bmatrix} N_{x0}^m \\ N_{t0}^m \\ N_{r0}^m \\ M_{t0}^m \end{Bmatrix} = k_i \begin{bmatrix} \sin^2 \beta_i & \frac{1}{2} \sin 2\beta_i \\ \frac{1}{2} \sin 2\beta_i & \cos^2 \beta_i \end{bmatrix} \begin{bmatrix} 0 & \sin m\alpha & 0 & 0 \\ 0 & 0 & \cos m\alpha & 0 \end{bmatrix} \left\{ \delta_0^m \right\}_e =$$

$$= k_i \begin{bmatrix} 0 & \sin^2 \beta_i \sin m\alpha & \frac{1}{2} \sin 2\beta_i \cos m\alpha & 0 \\ 0 & \frac{1}{2} \sin 2\beta_i \sin m\alpha & \cos^2 \beta_i \cos m\alpha & 0 \end{bmatrix} \left\{ \delta_0^m \right\}_e \quad (2.9)$$

lub inaczej

$$\mathbf{B}_s \mathbf{N} = \mathbf{b}. \quad (2.10)$$

Ponieważ  $\mathbf{B}_s$  nie jest macierzą kwadratową, do wyznaczenia wektora  $\mathbf{N}$  zastosowano tzw. pseudoinwersję, tj.

$$\mathbf{N} = (\mathbf{B}_s^T \mathbf{B}_s)^{-1} \mathbf{B}_s^T \mathbf{b},$$

gdzie

$$\mathbf{N} = \begin{bmatrix} 0 & 0 & 0 & 0 \\ 0 & \sin^2 m\beta & 0 & 0 \\ 0 & 0 & \cos^2 m\alpha & 0 \\ 0 & 0 & 0 & 0 \end{bmatrix}^{-1} \mathbf{B}_s^T \mathbf{b} =$$

$$= \begin{bmatrix} 0 & 0 & 0 & 0 \\ 0 & \frac{1}{\sin^2 m\beta} & 0 & 0 \\ 0 & 0 & \frac{1}{\cos^2 m\alpha} & 0 \\ 0 & 0 & 0 & 0 \end{bmatrix}^{-1} \begin{bmatrix} 0 & 0 \\ \sin m\alpha & 0 \\ 0 & \cos m\alpha \\ 0 & 0 \end{bmatrix} \mathbf{b} =$$

$$= \begin{bmatrix} 0 & 0 \\ \frac{1}{\sin m\alpha} & 0 \\ 0 & \frac{1}{\cos m\alpha} \\ 0 & 0 \end{bmatrix} \mathbf{b} = k_i \begin{bmatrix} 0 & 0 & 0 & 0 \\ 0 & \sin^2 \beta_i & \frac{1}{2} \sin 2\beta_i \operatorname{ctg} m\alpha & 0 \\ 0 & \frac{1}{2} \sin 2\beta_i \operatorname{tg} m\alpha & \cos^2 \beta_i & 0 \\ 0 & 0 & 0 & 0 \end{bmatrix} \left\{ \delta_0^m \right\}_e. \quad (2.11)$$

Ostatecznie zgodnie z konwencją zapisu właściwą dla MES mamy

$$\mathbf{N} = \begin{Bmatrix} 0 \\ N_{t0}^m \\ N_{r0}^m \\ 0 \end{Bmatrix} = [\mathbf{K}_i]_e \{\delta_0^m\}_e, \quad (2.12)$$

gdzie  $[\mathbf{K}_i]_e$  jest niesymetryczną macierzą sztywności cięgna, daną zależnością (2.11).

Analizując strukturę macierzy (2.11), należy zauważyć, że macierz cięgna  $[\mathbf{K}_i]_e$  jest symetryczna tylko dla  $\beta_i = 0$ , a dla  $0 < \beta_i \leq \pi/2$  jest macierzą niesymetryczną. Komplikuje to rozwiązanie układu równań algebraicznych MES i wymaga innych bardziej złożonych procedur. Całkowanie macierzy (2.11) po obwodzie, tj. po  $d\alpha$  należy wykonać z wykorzystaniem pseudofunkcji Diraca  $\delta(t)$  o znanych własnościach

$$\begin{aligned} \delta(t) &= 0 \quad \text{dla } t \neq 0 \\ \int_{-\infty}^{+\infty} \psi(t) \delta(t) dt &= \psi(0). \end{aligned} \quad (2.13)$$

Po tych uwagach dla  $N$  cięgien na obwodzie napisać można

$$[\mathbf{K}_i] = \sum_{i=1}^N \int_0^{2\pi} \delta(\alpha - \alpha_i) [\mathbf{K}_i(\alpha)]_e d\alpha. \quad (2.14)$$

W następnym punkcie przedstawiono i omówiono wyniki testów numerycznych.

### 3. Analiza numeryczna

Wpływ anizotropowości podpór na widmo częstości i postaci drgań zbadamy na dwóch przykładach. Pierwszy to prosty przykład testowy w postaci hipotetycznego wału o różnych konfiguracjach podparcia, wirujący lub nie z uwzględnieniem precesji prostej lub bez precesji. Analiza rezultatów pozwoli na ocenę zaproponowanej metodyki oraz ocenę ilościowego i jakościowego charakteru zmian badanych parametrów ruchu.

Drugim przykładem będzie rzeczywista konstrukcja silnika PZL-10W.

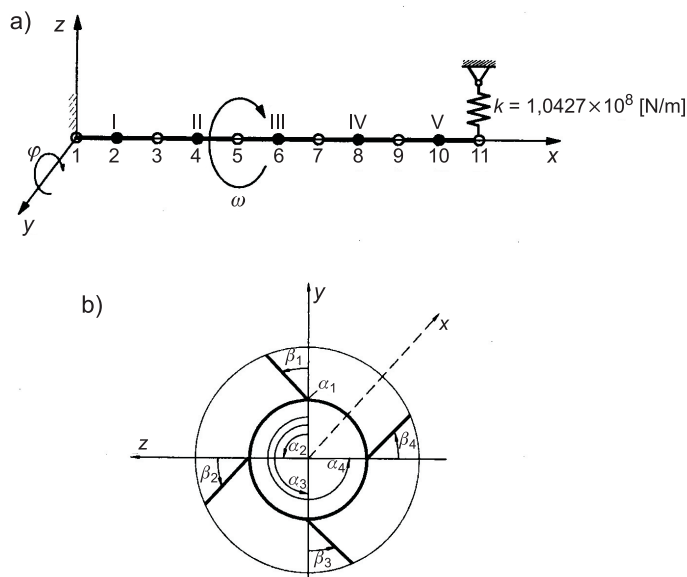
#### 3.1. Hipotetyczny wał

Rozpatrzono wał, który jest lewostronnie sztywno podparty, a prawostronnie podparty jest na podporze podatnej o różnym stopniu anizotropowości. Szkic analizy-

wanej hipotetycznej konstrukcji przedstawiono na rysunku 3.1a. Wyniki zestawiono w postaci wykresów i tabel, w których błąd względny  $\Delta\Omega$  zdefiniowano jako

$$\Delta\Omega_i = \frac{\Omega_{i(x-z)} - \Omega_{i(x-y)}}{\Omega_{i(x-z)}} \cdot 100 [\%]. \quad (3.1)$$

W celu ustalenia uwagi Czytelnika na rysunku 3.1b pokazano geometrię i sposób kąтового zwirowania położenia cięgien sprężystych.



Rys. 3.1. Szkic hipotetycznego wału (a) oraz sposób zwirowania cięgien (b)

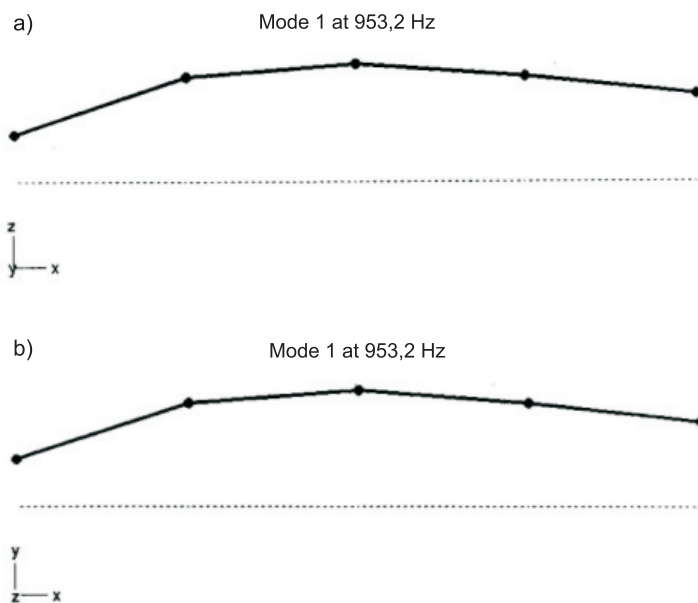
Pierwszy przypadek obliczeniowy (tab. 3.1) dotyczy podpory o sztywności stałej wzdłuż obwodu (podpora izotropowa). Wyniki zestawiono w dziewięciu kolumnach. Pierwsze trzy dotyczą drgań własnych, pozostałe obrotów krytycznych. Rozwiązania wykazują symetrię względem dwóch wzajemnie prostopadłych płaszczyzn  $x-z$  i  $x-y$ , co potwierdza także otrzymana wartość błędów względnych (0%).

Kolejny test numeryczny dotyczy podpory o czterech równomiernie rozłożonych na obwodzie cięgnach, lecz nachylonych w stosunku do promienia pod kątem  $45^\circ$ . Ta nieznaczna asymetria sztywności podpory uwidacznia się w otrzymanych wartościach częstości drgań i obrotów krytycznych odnotowanych dla ruchu obiektu we wzajemnie prostopadłych płaszczyznach. Największe różnice odnotowuje się dla drugiej i czwartej postaci drgań (tab. 3.2).

Ostatni test numeryczny hipotetycznej konstrukcji dotyczy dużej asymetrii geometrycznej i sztywnościowej analizowanej podpory. W tym przypadku cztery

ciągła są rozłożone nierównomiernie na obwodzie i usytuowane pod różnymi kątami w stosunku do promienia. Również ich sztywności są różne. Podpora ta konstrukcyjnie odpowiada rzeczywistemu podparciu silnika PZL-10W, które omówimy szczegółowo w następnym punkcie. Rozwiązanie zamieszczone w tabeli 3.3 charakteryzuje się także asymetrią parametrów ruchu, tj. częstości własnych i prędkości krytycznych.

Na rysunkach 3.2-3.5 zilustrowano postaci drgań dla początkowej fazy ruchu  $t_0 = 0$ . Szczegółowy opis znajduje się pod rysunkami i nie wymaga dalszego komentarza, poza stwierdzeniem zauważalnych różnic w postaciach drgań dla podpory anizotropowej w stosunku do izotropowej. Reasumując, należy stwierdzić, że łatwy w analizie hipotetyczny przykład testowy potwierdza poprawną koncepcję sformułowania modelu matematycznego anizotropowej podpory oraz zgodność otrzymanych rozwiązań z przyjętym modelem fizycznym analizowanej podpory.



Rys. 3.2. Podpora izotropowa,  $\omega = 3000$  rad/s,  $k = +1$ . Pierwsza postać drgań w płaszczyźnie  $x$ - $y$ - $z$  (a) oraz  $x$ - $z$ - $y$  (b)

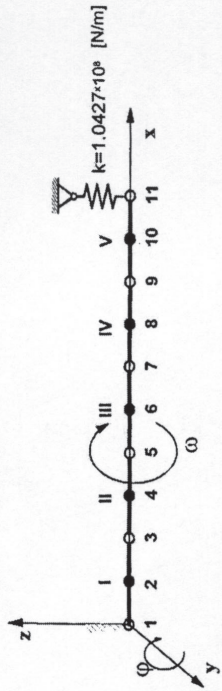
TABELA 3.1

$\Omega_i$	Częstość drgań własnych [Hz]				Obroty krytyczne [Hz]				
	$\omega = 0$				$\omega = 3000$ [rad/s]				
	$k=0$		$k=+1$		$k=0$		$k=+1$		
	Płaszczyzna (x-z)	Płaszczyzna (x-y)	Błąd względny [%]	Płaszczyzna (x-z)	Płaszczyzna (x-y)	Błąd względny [%]	Płaszczyzna (x-z)	Płaszczyzna (x-y)	Błąd względny [%]
$\Omega_1$	658,6	658,6	0,00%	935,8	935,8	0,00%	954,7	954,7	0,00%
$\Omega_2$	1489,6	1489,6	0,00%	1606,9	1606,9	0,00%	1862,8	1862,8	0,00%
$\Omega_3$	2861,3	2861,3	0,00%	2924,8	2924,8	0,00%	3206,6	3206,6	0,00%
$\Omega_4$	3471,4	3471,4	0,00%	3505,7	3505,7	0,00%	3438,8	3438,8	0,00%
$\Omega_5$	4208,9	4208,9	0,00%	4267,0	4267,0	0,00%	4242,7	4242,7	0,00%

$\alpha_1=0^\circ$        $\beta_1=0^\circ$   
 $\alpha_2=90^\circ$      $\beta_2=0^\circ$   
 $\alpha_3=180^\circ$      $\beta_3=0^\circ$   
 $\alpha_4=270^\circ$      $\beta_4=0^\circ$



TABELA 3.2



$k=1.0427 \cdot 10^8$  [N/m]

$\omega$

$\Omega_i$	Częstość drgań własnych [Hz]				Obroty krytyczne [Hz]				
	$\omega = 0$				$\omega = 3000$ [rad/s]				
	$k=0$		$k=+1$		$k=0$		$k=+1$		
	Płaszczyzna (x-z)	Płaszczyzna (x-y)	Błąd względny [%]	Płaszczyzna (x-z)	Płaszczyzna (x-y)	Błąd względny [%]	Płaszczyzna (x-z)	Płaszczyzna (x-y)	Błąd względny [%]
$\Omega_1$	865,6	824,7	4,73%	1084,4	1057,1	2,52%	1092,1	1047,7	4,07%
$\Omega_2$	1642,7	2370,9	-44,33%	1735,8	2476,0	-42,64%	1987,8	2386,5	-20,06%
$\Omega_3$	2892,4	3677,3	-27,14%	2949,8	3753,7	-27,25%	3252,1	3600,4	-10,71%
$\Omega_4$	3477,3	4556,5	-31,04%	3514,9	4635,6	-31,88%	3508,7	4458,0	-27,06%
$\Omega_5$	4222,9	4258,1	-0,83%	4280,9	4206,8	1,73%	4257,8	4849,1	-13,89%

$\alpha_1=0^\circ$        $\beta_1=45^\circ$   
 $\alpha_2=90^\circ$      $\beta_2=45^\circ$   
 $\alpha_3=180^\circ$     $\beta_3=45^\circ$   
 $\alpha_4=270^\circ$     $\beta_4=45^\circ$

TABELA 3.3

$k=1.0427 \cdot 10^8 \text{ [N/m]}$

$x$

$z$

$y$

$\omega$

I II III IV V

1 2 3 4 5 6 7 8 9 10 11

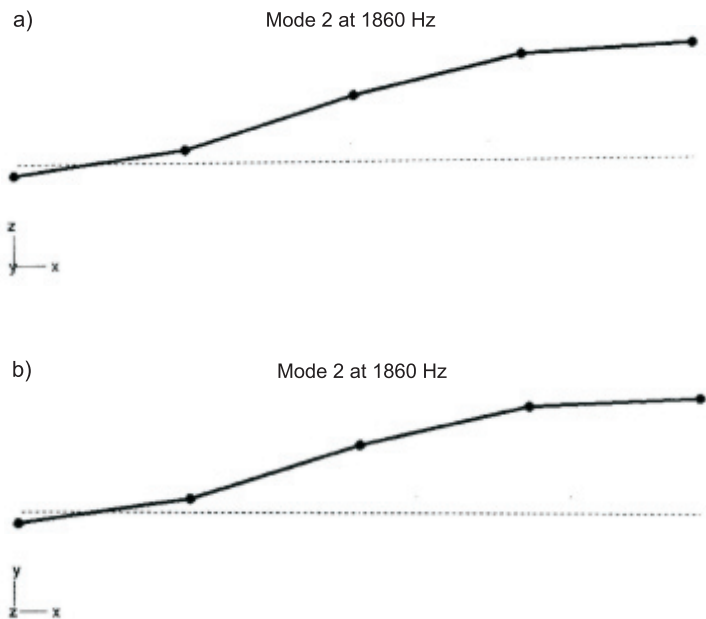
$\alpha_1=+105^\circ$     $\beta_1=+40^\circ$

$\alpha_2=+170^\circ$     $\beta_2=-60^\circ$

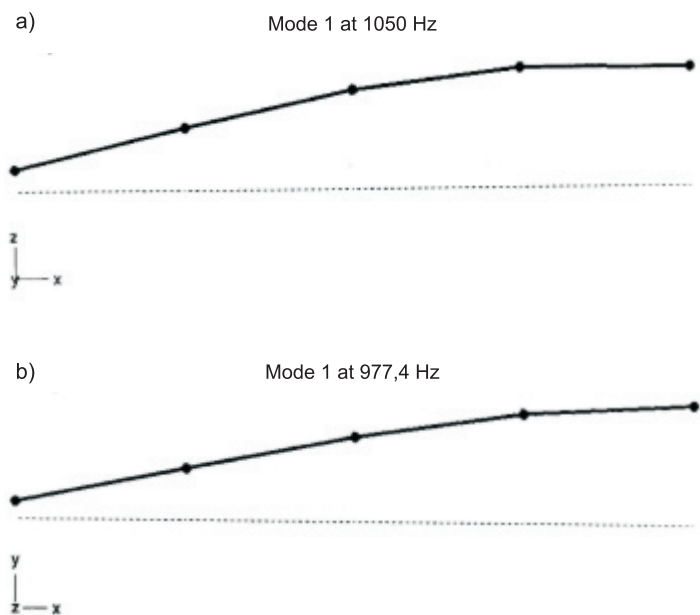
$\alpha_3=-175^\circ$     $\beta_3=0^\circ$

$\alpha_4=-105^\circ$     $\beta_4=-90^\circ$

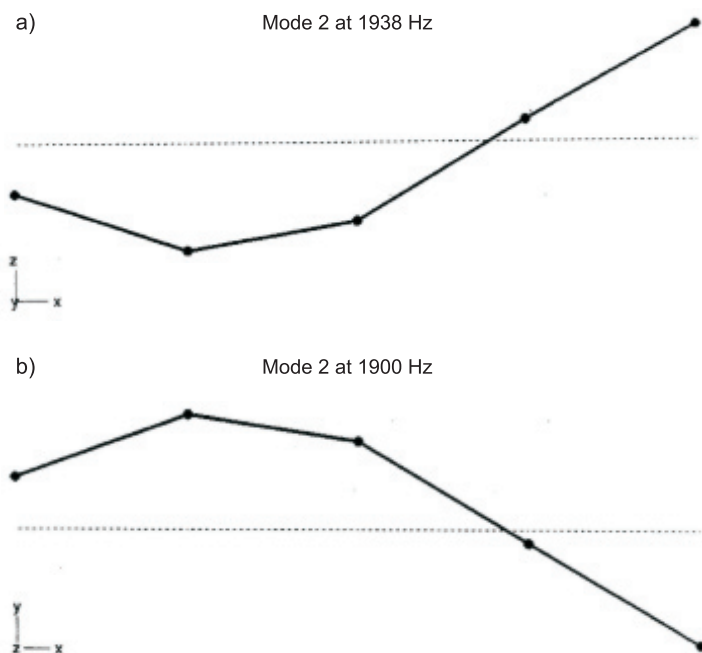
$\Omega_i$	Częstość drgań własnych [Hz]				Obroty krytyczne [rad/s]				
	$\omega = 0$				$\omega = 3000$				
	$k=0$		$k=+1$		$k=0$		$k=+1$		
	Płaszczyzna (x-z)	Płaszczyzna (x-y)	Błąd względny [%]	Płaszczyzna (x-z)	Płaszczyzna (x-y)	Błąd względny [%]	Płaszczyzna (x-z)	Płaszczyzna (x-y)	Błąd względny [%]
$\Omega_1$	797,3	699,7	12,24%	1041,7	967,4	7,13%	1051,9	979,2	6,91%
$\Omega_2$	1573,7	1556,3	1,11%	1684,3	1671,5	0,76%	1941,0	1904,5	1,88%
$\Omega_3$	2878,1	2888,8	-0,37%	2939,4	2950,8	-0,39%	3233,5	3219,4	0,44%
$\Omega_4$	3474,5	3463,6	0,31%	3510,5	3497,3	0,38%	3483,7	3523,6	-1,15%
$\Omega_5$	4216,5	4207,8	0,21%	4274,9	4266,6	0,19%	4251,3	4246,3	0,12%



Rys. 3.3. Podpora izotropowa,  $\omega = 3000$  rad/s,  $k = +1$ . Druga postać drgań w płaszczyźnie  $x$ - $y$ - $z$  (a) oraz  $x$ - $z$ - $y$  (b)



Rys. 3.4. Podpora anizotropowa,  $\omega = 3000$  rad/s,  $k = +1$ . Pierwsza postać drgań w płaszczyźnie  $x$ - $y$ - $z$  (a) oraz  $x$ - $z$ - $y$  (b)



Rys. 3.5. Podpora anizotropowa,  $\omega = 3000$  rad/s,  $k = +1$ . Druga postać drgań w płaszczyźnie  $x$ - $y$ - $z$  (a) oraz  $x$ - $z$ - $y$  (b)

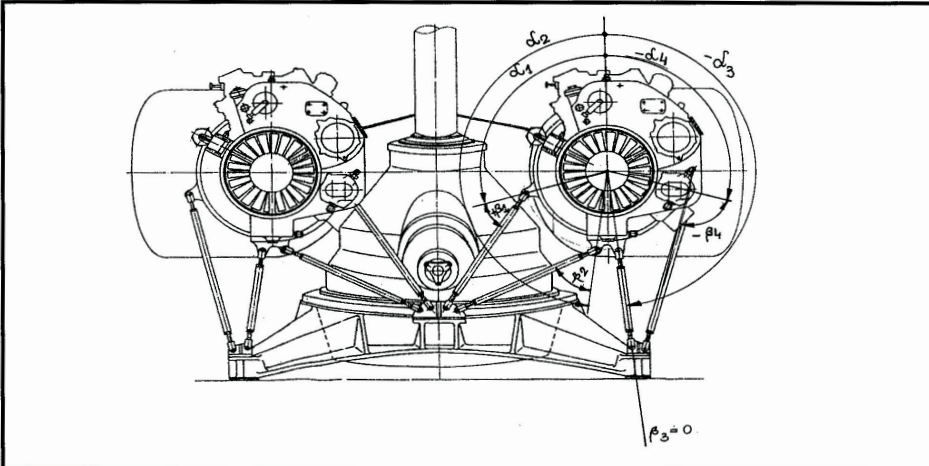
### 3.2. Silnik PZL-10W

Mocowanie silników do płyty reduktorowej zilustrowano na szkicu zamieszczonym w tabeli 3.5, natomiast rozmieszczenie poszczególnych cięgien przedniej podpory silnika przedstawiono na szczegółowym rysunku zamieszczonym w tabeli 3.4, w której zestawiono także niezbędne do obliczeń szczegółowe dane techniczne położenia poszczególnych cięgien oraz ich sztywności.

Obliczenia wykonano w dwóch wariantach. Pierwszy hipotetyczny — cięgna rozłożone równomiernie ( $\alpha_1 = 0^\circ, \alpha_2 = 90^\circ, \alpha_3 = 180^\circ, \alpha_4 = 270^\circ$ ) zgodnie z kierunkiem promieniowym ( $\beta_i = 0^\circ, i = 1, \dots, 4$ ), a sztywność ich  $k_i$  jest stała i równa wartości średniej  $k_{sr} = 2,2801 \times 10^8$  [N/m]. Rozwiązania zestawiono w tabeli 3.5.

Przypadek pierwszy wyników obliczeń zapisano w kolumnach 4 i 5, a dla porównania obliczenia wykonano także dla silnika bez przedniej podpory kolumny 2 i 3. Analiza rozwiązań potwierdza ich fizyczną poprawność. Po pierwsze rozwiązania są symetryczne względem wzajemnie prostopadłych płaszczyzn ( $x$ - $z$ ) i ( $x$ - $y$ ) oraz obroty krytyczne rosną, gdy istnieje przednia podpora, bowiem wzrasta sztywność zamocowania badanego obiektu. Wpływ ten jest największy dla pierwszej postaci drgań (porównaj tab. 3.5, kolumny 6 i 7). Jest to zrozumiałe, bowiem pierwsza częstość drgań własnych, jak wykazała szczegółowa analiza numeryczna, której

TABELA 3.4



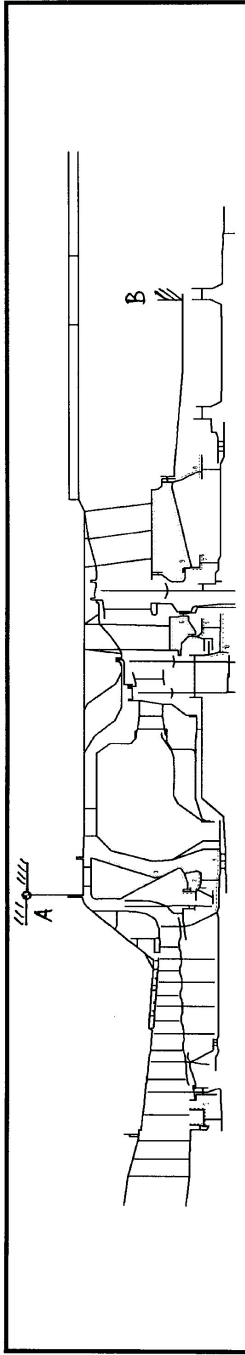
Lp	i	$l_i$	$\alpha_i$	$\beta_i$	$L_i$	$EA_i$	$k_i=EA_i/L_i$
----	----	[m]	[deg]	[deg]	[m]	[N]	[N/m]
1	1	0,058	105	40	0,35344	7,4692E+07	2,1133E+08
2	2	0,058	170	-60	0,35344	7,4692E+07	2,1133E+08
3	3	0,04	-175	0	0,24375	7,4692E+07	3,0643E+08
4	4	0,067	-105	-90	0,40828	7,4692E+07	1,8294E+08
$k_{\text{śred}}$							2,2801E+08

wyniki zamieszczono w pracy [3] jest „pierwszą giętną postacią drgań całego silnika”. Pozostałe częstoty odpowiadają jego głównym zespołom.

Podsumowaniem analizy numerycznej są obliczenia dynamiczne całego silnika na anizotropowych podporach. Wyniki zapisano także w tabeli 3.5, kolumna 8 i 9, a błąd względny w procentach w stosunku do wyników obliczeń dla podpory osiowosymetrycznej (izotropowej) zawierają kolumny 10 i 11. W przypadku tym obserwuje się nieznaczne zróżnicowanie otrzymanych częstoty drgań w obu wzajemnie prostopadłych płaszczyznach (desymetria rozwiązania). Wielkość tego zróżnicowania zależy od numeru postaci drgań, których cztery pierwsze przebiegi zilustrowano na rysunkach 3.6-3.9.

Jeżeli za miarę sztywności kierunkowej podpory anizotropowej przyjmujemy wartość energii odkształcenia sprężystego odniesioną do jej maksymalnej wartości, to na wykresie biegunowym (polarnym) obserwuje się dla danych z tabeli 3.4 i obciążenia konstrukcji jednostkowym przemieszczeniem symetrycznym charakter zmiany tej wielkości jak na rysunku 3.10. Z wykresu tego można odczytać, że główne centralne osie bezwładności są obrócone o około  $38^\circ$  w kierunku przeciwnym do

TABELA 3-5

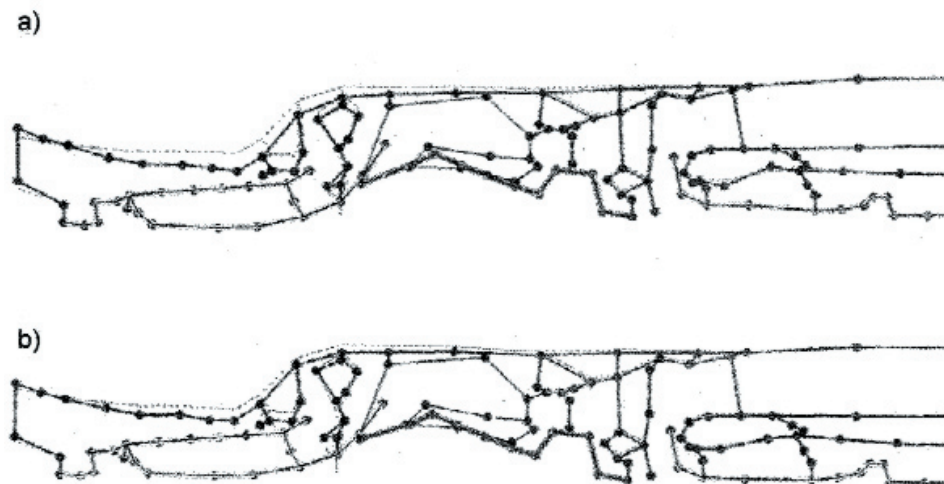


**Położenie przedniej podpory na silniku**

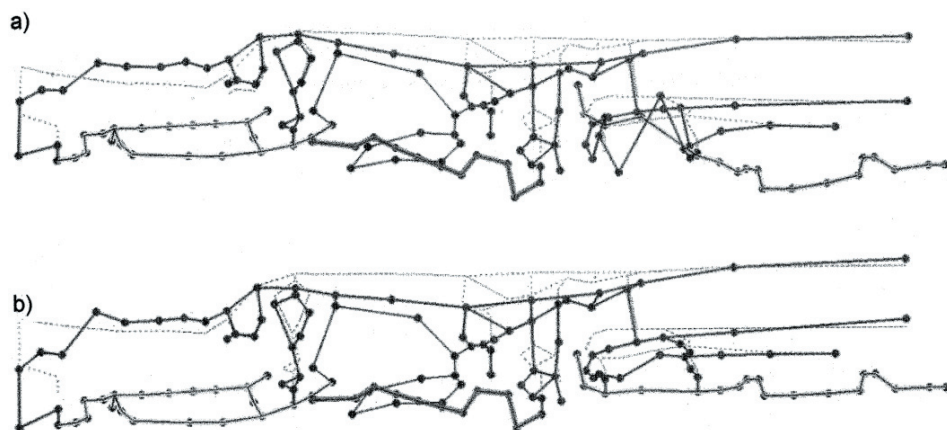
1	Obroty krytyczne [Hz] ( $\Omega=3000[\text{rad/s}] \quad k=+1$ )		Polożenie przedniej podpory na silniku													
	bez podpory		$\alpha_1=0^\circ$				$\alpha_1=+105^\circ$				$\alpha_1=+40^\circ$				Błąd w [%]	
	(x-z)	(x-y)	(x-z)	(x-y)	(x-z)	(x-y)	(x-z)	(x-y)	(x-z)	(x-y)	(x-z)	(x-y)	Kol. 4 - Kol. 2	Kol. 5 - Kol. 3	Kol. 8 - Kol. 4	Kol. 9 - Kol. 5
$\omega_1$	79,19	79,21	84,48	84,49	84,49	84,49	87,21	79,44	87,21	79,44	87,21	79,44	6,26%	6,25%	3,13%	-6,36%
$\omega_2$	212,27	212,22	234,73	234,54	234,54	234,54	243,65	246,64	243,65	246,64	243,65	246,64	9,57%	9,52%	3,66%	4,91%
$\omega_3$	268,99	269,07	316,60	316,75	316,75	316,75	442,68	461,96	442,68	461,96	442,68	461,96	15,04%	15,05%	28,48%	31,43%
$\omega_4$	498,18	498,14	499,51	499,52	499,52	499,52	500,98	501,03	500,98	501,03	500,98	501,03	0,27%	0,28%	0,29%	0,30%
$\omega_5$	509,91	509,88	522,60	522,56	522,56	522,56	642,02	641,44	642,02	641,44	642,02	641,44	2,43%	2,43%	18,60%	18,53%
$\omega_6$	641,49	641,51	641,72	641,83	641,83	641,83	656,71	658,20	656,71	658,20	656,71	658,20	0,04%	0,05%	2,28%	2,49%
$\omega_7$	699,96	700,07	698,75	698,93	698,93	698,93	704,65	715,63	704,65	715,63	704,65	715,63	-0,17%	-0,16%	0,84%	2,33%
$\omega_8$	778,67	778,67	778,71	778,71	778,71	778,71	778,73	778,75	778,73	778,75	778,73	778,75	0,01%	0,01%	0,00%	0,01%
$\omega_9$	790,47	790,46	800,10	800,09	800,09	800,09	801,83	802,16	801,83	802,16	801,83	802,16	1,20%	1,20%	0,22%	0,26%
$\omega_{10}$	803,16	803,19	812,12	812,10	812,10	812,10	898,27	874,47	898,27	874,47	898,27	874,47	1,10%	1,10%	9,59%	7,13%



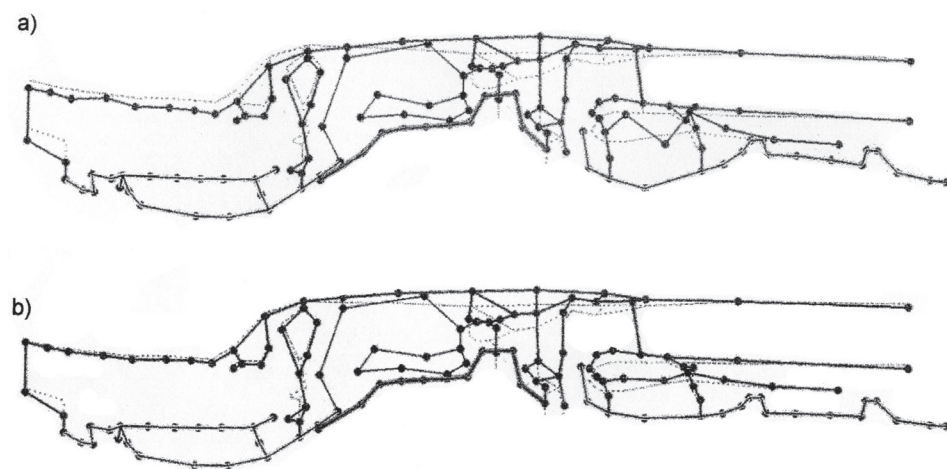
Rys. 3.6. Pierwsza postać drgań silnika PZL-10W na anizotropowej przedniej podporze: a) drgania w płaszczyźnie (Oxz),  $\Omega_1 = 465,4$  Hz; b) drgania w płaszczyźnie (Oxy),  $\Omega_1 = 459,2$  Hz



Rys. 3.7. Druga postać drgań silnika PZL-10W na anizotropowej przedniej podporze: a) drgania w płaszczyźnie (Oxz),  $\Omega_2 = 509,5$  Hz; b) drgania w płaszczyźnie (Oxy),  $\Omega_2 = 513,2$  Hz



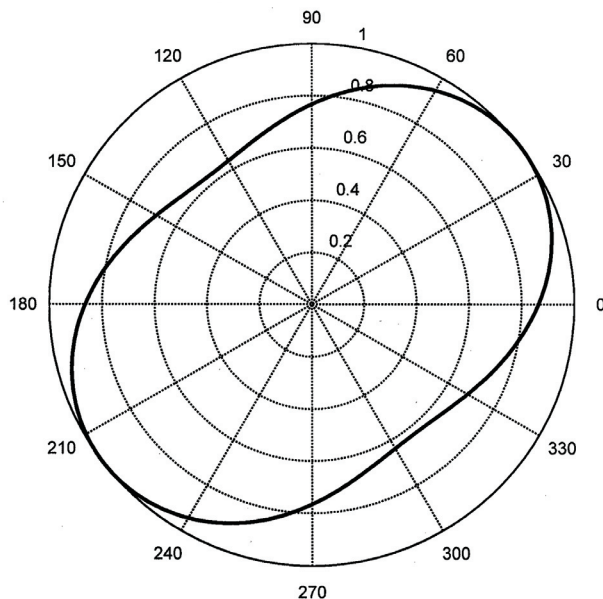
Rys. 3.8. Trzecia postać drgań silnika PZL-10W na anizotropowej przedniej podporze: a) drgania w płaszczyźnie (Oxz),  $\Omega_3 = 574,9$  Hz; b) drgania w płaszczyźnie (Oxy),  $\Omega_3 = 581,9$  Hz



Rys. 3.9. Czwarta postać drgań silnika PZL-10W na anizotropowej przedniej podporze: a) drgania w płaszczyźnie (Oxz),  $\Omega_4 = 622,8$  Hz; b) drgania w płaszczyźnie (Oxy),  $\Omega_4 = 632,0$  Hz



ruchu wskazówek zegara, co uzasadnia od strony jakościowej poprawność otrzymanych rozwiązań.



Rys. 3.10. Zmiana wzdłuż obwodu bezwymiarowej energii odkształcenia sprężystego podpory anizotropowej

## Podsumowanie

Analiza otrzymanych rozwiązań potwierdza poprawność koncepcji i matematycznego opisu podparcia, które nie wykazuje cech symetrii osiowej. Zawieszenie silników turbośmigłowych na śmigłowcach w przypadku przedniej podpory charakteryzuje się prawie zawsze tego typu sposobem podparcia (por. węzeł A na szkicu w tabeli 3.5 oraz jej realizację praktyczną zilustrowaną na szkicu w tabeli 3.4). Podpora tylna B na rysunku w tabeli 3.5 to typowe wielorubowe połączenie kołnierzowe do masywnej obudowy reduktora. Stąd wiele testów numerycznych, których wyniki zamieszczono w tabeli 3.5, pozwala na sformułowanie następujących wniosków przydatnych w procesie konstrukcyjno-obliczeniowym:

1. Wpływ przedniego podparcia nieznacznie zwiększa podstawowe częstotliwości drgań własnych badanego obiektu (por. tab. 3.5, kolumny [2-3] z [4-5]), lecz jego istnienie jest niezbędne ze względu na wielkość przemieszczeń promieniowych w płaszczyźnie węzła A.
2. Anizotropowość przedniego podparcia ma nieznaczny wpływ na asymetrię rozwiązania, co wynika z bardzo sztywnego podparcia węzła B, a szczegółowo zostało opisane wyżej.

3. Wielkość asymetrii rozwiązania uzależniona jest od postaci drgań, co zilustrowano w kolumnach [10-11] tabeli 4.5, a także na rysunkach 3.6-3.9.

W ostatecznej konkluzji nie należy jednak stwierdzić, że w każdym przypadku obliczeń inżynierskich można pominąć anizotropowość podparcia i zastąpić go jego prostszym modelem — podparciem izotropowym, które nie desymetryzuje macierzy sztywności podporowej, co upraszcza schematy numerycznego rozwiązywania. Gdyby podpora B była mniej sztywna i jednocześnie charakteryzowała się anizotropowym sposobem podparcia, to nawet w ramach przybliżonych obliczeń inżynierskich fakt ten nie mógłby zostać pominięty bez szkody dla dokładności obliczeń.

*Artykuł wpłynął do redakcji 16.11.2007 r. Zweryfikowaną wersję po recenzji otrzymano w styczniu 2008 r.*

#### LITERATURA

- [1] Z. DŻYGADŁO, M. ŁYŻWIŃSKI, J. OTYŚ, S. SZCZECIŃSKI, R. WIATREK, *Zespoły wirnikowe silników turbinowych*, WKiŁ, Warszawa, 1982.
- [2] I. NOWOTARSKI, *Obliczenia statyczne i dynamiczne turbinowych silników lotniczych metodą elementów skończonych*, Biblioteka Naukowa Instytutu Lotnictwa, Warszawa, 2001.
- [3] P. DRĄŻEK, *Badanie wpływu parametrów konstrukcyjnych silnika turbinowego PZL-10W na charakterystyki dynamiczne z wykorzystaniem różnych modeli matematycznych*, rozprawa doktorska, WAT, Warszawa, 2005.

P. DRĄŻEK, I. NOWOTARSKI

#### **Influence of anisotropy of supports on critical rotational speeds of a propeller turbine engine**

**Abstract.** The paper presents mathematical model and calculation results for a rotational symmetry system, the support radial stiffness of which, along the circuit, has no axial symmetry.

**Keywords:** mechanics — dynamics, aviation

**Universal Decimal Classification:** 629.735.015